

マウス移植腫瘍の増殖、転移および免疫能に及ぼす施灸刺激の影響についての研究

宇都宮由美子

明治鍼灸大学大学院 鍼灸臨床医学

要旨：C57BL/6マウスの右足蹠部にLewis肺癌細胞に移植し、施灸開始後15日目の腫瘍重量と肺癌転移結節数を観察した。さらにマウスの免疫能への影響を見るために脾臓および胸腺の重量、リンパ球芽球化反応、NK細胞活性および抗体産生能を観察した。施灸刺激は、両側腎俞穴相当部位に重さ0.6mgの艾を連日、隔日、毎4日のタイミングで施灸した。その結果、①施灸刺激は移植腫瘍細胞数の少ない場合には腫瘍増殖に対し促進的に、多い場合は抑制的に作用すること、②連日施灸は腫瘍増殖を促進させ、隔日または毎4日施灸は抑制する可能性のあること、③施灸刺激によりリンパ球芽球化反応、NK活性は低下するが、抗体産生細胞数(PFC)は増加する傾向が観察された。

I 緒 言

灸治療の起源は鍼よりも古いと言われており生体の恒常性の維持を調整し、自然治癒力を高める作用があると考えられている。現在でも各種疾患に対する治療または予防の目的で用いられており健康灸あるいは養生灸として広く普及している。近年、灸治療の臨床的効果の検討と共に基礎的な研究も数多く行なわれ、施灸が宿主の免疫応答を活性化させることなども報告されているが¹⁾、そのメカニズムについては十分明らかにされているとはいえない。

また、須藤ら²⁾、野間ら³⁾、Sternfeldら⁴⁾、そして篠原ら⁵⁾は灸刺激によりマウス移植腫瘍の増殖が抑制されることを報告している。このような移植腫瘍の増殖抑制は、施灸の物理的な非特異的刺激による宿主免疫能の賦活を介したものと考えられているが、これらのことことが事実であるならば、灸刺激は腫瘍の免疫療法の一部を担う可能性

が示唆され非常に興味深い。また、前述の篠原らは灸刺激により腫瘍増殖と共にリンパ節転移が抑制されたとしているが、その際、灸の刺激量や刺激間隔等の条件も重要な因子であったと報告している。

そこで著者は、血行性転移を起しやすいとされるLewis肺癌細胞を用い、種々の間隔で施灸した場合における原病巣の増殖抑制効果と共に、血行性転移形成に対する影響を観察した。さらにこれらのマウスの免疫能への影響をみるためにPHA、Con-Aなどのマイトイジンに対するリンパ球芽球化反応、NK細胞活性、抗体産生能などの免疫学的指標を用いて検討を行った。

II 実験材料および方法

1. 実験動物および実験腫瘍

4週～5週令のC57BL/6雄性マウス（体重約15～18g、日本エスエルシーK.K.）を用い、SPF

Key Words : Lewis肺癌細胞 Lewis Lung Carcinoma, 施灸刺激 Stimulation By Moxibustion, 芽球化反応 Lymphocyte Blastogenic Activities, NK細胞活性 Natural Killer(NK) Activities, 抗体産生能 Plaque-Forming Cell(PFC) Response

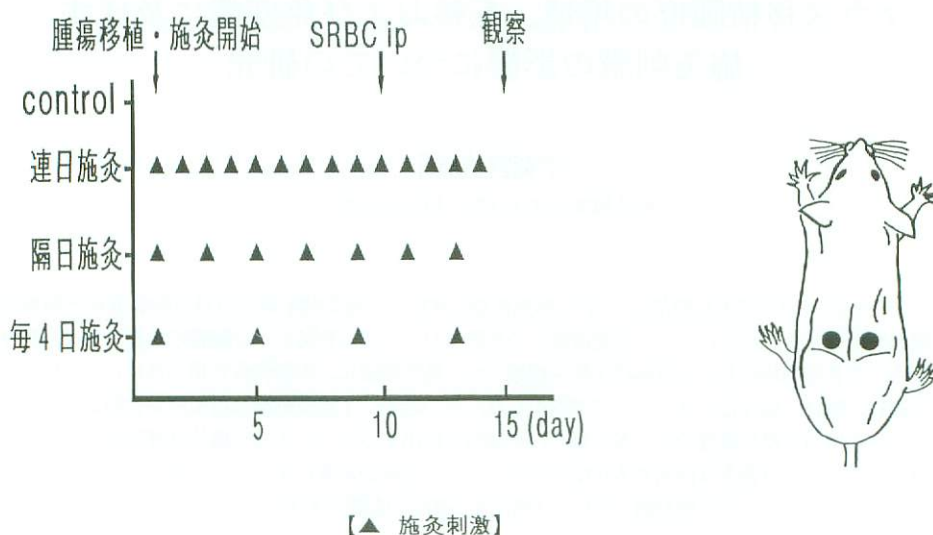


Fig.1 施灸スケジュールと施灸部位

条件下に飼育したものを使用した。また実験腫瘍は血行性肺転移形成能の高い Lewis 肺癌（森下ルセルK.K 研究所から分与）を用いた。腫瘍は trocar を用いて腫瘍細片をマウス右腰部に継代移植したものを使用した。

2. 実験方法

実験群は施灸スケジュールにより、連日施灸群、隔日施灸群、毎4日施灸群、対照群の4群（各群6匹）とした（Fig. 1）。マウス右足蹠部に Lewis 肺癌細胞を 5×10^6 cells / 0.05ml あるいは 5×10^5 cells / 0.05ml 移植し、各々を便宜上、small tumor 群および large tumor 群と命名した。腫瘍移植直後から、それぞれの施灸スケジュールに従って、両側腎俞穴相当部位に半米粒大艾（0.6mg）を各1壮ずつ施灸した。14日間の施灸スケジュールに従った治療を行った後、15日目にマウスを処死し、以下の検討を行った。

3. 検討項目

(1) 腫瘍重量および胸腺・脾臓重量の測定

腫瘍移植後15日目に、マウスを cervical dislocation で処死し、腫瘍移植右下肢を大腿中央部で切断し、腫瘍を含めた右下肢重量を、FX-300電子

天秤（A & D）にて計測した。次にマウスの死体を70%エタノールに浸し、脾臓はクリーンベンチ内で無菌的に摘出して、tissue culture dish (Corning) に入れ、電子天秤でその重量を計測した。胸腺はそのまま摘出して重量を計測した。

(2) 肺転移結節数の測定

Waxler らの方法⁶⁾に準じ、腫瘍移植15日目に処死したマウスを仰向けにし、胸部を正中切開した。気管と胸腔を露出し、頸部直下部で気管を切断し、その切断端より鈍針を挿入し、これより黒インク約0.5～1mlを気管内に注入して肺を膨張させた。鈍針を気管より抜去後すばやく気管を絹糸で結紮し、インクがもれないようにした。膨張した肺を胸腔内から取り出し、水の入ったビーカーに入れて肺の余分なインクを取り除いた。その後、Feketes solution (70%エタノール100ml, ホルマリン10ml, 酢酸5ml) で固定した。24時間後に白く漂白された腫瘍結節の個数を肉眼的に計測した。

(3) 脾細胞浮遊液の作製

(1)で無菌的に摘出されたマウス脾臓を RPMI 1640 培養液中で micro slide grass (Iwaki) を用

いてすり潰し、wire mesh で濾過した。濾液を遠心分離 (1000r.p.m., 5 min.) し、上清を取り除いた後、Tris-NH₄Cl 緩衝液 (PH7.65) を加えて遠心分離 (1000r.p.m., 5 min) して赤血球を溶血除去した。さらに RPMI 1640 培養液 (和光純薬) で 3 回洗浄した。次に、脾細胞数が 1×10^7 cells/ml (PFC 測定の場合は 1×10^6 cells/ml) になるよう RPMI 1640 培養液 (芽球化反応および NK 細胞活性の測定は非動化 10% FCS 加 RPMI 1640 培養液) に浮遊させ細胞数を調整した。

(4) 脾リンパ球芽球化反応の測定

96穴平底マイクロプレート (Nunc) に 1 wellあたり脾リンパ球 5×10^5 cells/10% FCS 加 RPMI 1640 培養液 200 μl を分注し、各 well に予備実験で至適濃度を確かめた PHA-P (Difco) 0.1 μg/50 μl あるいは Con-A 0.1 μg/20 μl を添加後、37°C, 5% CO₂ 条件下で 72 時間培養した。また対照として PHA, Con-A を添加しない Well を作製した。培養終了 24 時間前に [methyl-³H] Thymidine (Amersham) 0.5 μci/well を添加し、培養終了後、セルハーベスター (Skatron) にて細胞をフィルターマット (Skatron) に回収し、シンチレーターカクテル (シンチゾール EX-H, 和光純薬) を添加後、³H-thymidine のとりこみを液体シンチレーションカウンター (Aloka LSC-3500) で測定した。各検体を triplicate とし、平均 cpm を算出した。

(5) NK 細胞活性の測定

NK 細胞活性は、菊地らの ⁵¹Cr 標識細胞障害試験を用いて測定した⁷⁾。target 細胞には Balb/c 由来 RL male 1 細胞を用いた。 1×10^7 cells/ml 以上の RL male 1 細胞を遠心分離 (1000r.p.m., 5 min.) して、その上清を除いた沈渣にクロム酸ナトリウム (Na₂⁵¹CrO₄, Amersham) を 0.1 ml 加え、37°C の恒温槽にて振とうしながら 60 分間標識した。標識終了後、細胞を 3 回洗浄した。96 穴円底マイクロプレート (Nunc) に effector cell: target cell の比率が 25 : 1 となるように 1 well あたり 5×10^6 cells/100 μl の脾細胞と 2×10^4 cells/100 μl の RL male 1 細胞を混合した。

maximum release には target cell 2×10^4 cells / $100 \mu l$ に 2% ドデシル硫酸ナトリウム (和光純薬) 100 μl を、spontaneous release には 10% FCS 加 RPMI 1640 培養液 100 μl を加え、37°C, 5% CO₂ 条件下で 6 時間の培養を行った。培養終了後、遠心分離 (1500r.p.m., 10 min.) し、各 Well から上清をマイクロピペットで 100 μl ずつチューブ (Falcon) にとり、target cell から浮遊した ⁵¹Cr を γ カウンター (Aloka ARC-605) で測定した。NK 細胞活性 (%) は以下の式より計算した。

$$\frac{\text{experimental release} - \text{spontaneous release}}{\text{maximum release} - \text{spontaneous release}} \times 100$$

(6) PFC の測定

羊赤血球 (SRBC) に対するマウス脾細胞の Plaque forming cell (PFC) 形成能の測定を行った。腫瘍移植後 10 日目に 2.5×10^9 cells/ml の SRBC (日研生物医学) 0.2 ml をマウスの腹腔内に投与した。その 5 日後に Cunningham の方法⁸⁾ に準じ、(3) で作製した 1×10^6 cells/ml の脾細胞浮遊液から 4×10^5 cells/0.4 ml とったものに 50% SRBC 0.05 ml と 3 倍希釈したモルモット補体 (極東製薬) を混合し、その 0.1 ml を Cunningham Chamber (Takahashi giken) にパラフィン封入して 37°C の条件下で 60 分間の静置後、Chamber 内の抗体産生細胞 (Plaque forming cell) 数を肉眼的にカウントし、これを脾細胞 10^6 個あたりの抗体産生細胞数に換算して表現した。

4. 統計

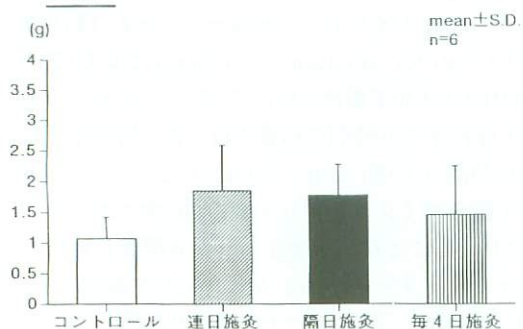
すべての統計処理には統計ソフト Stat View 4.02 (Abacus Concepts, Inc.) 多重比較の Bonferroni 法を用いた。

III. 結果

(1) 腫瘍増殖に及ぼす施灸刺激の影響

Lewis 肺癌腫瘍の移植は 5×10^4 個と 5×10^5 個の 2 通り、すなわち、移植細胞数の少ない小さな腫瘍 (small tumor 群) と移植細胞数のやや多い大きな腫瘍 (large tumor 群) に対する施灸刺激の影響を見ることとし、各 2 回ずつの実験結果を示した。Fig.2 は small tumor 群の腫瘍重量

Exp. 1



Exp. 2

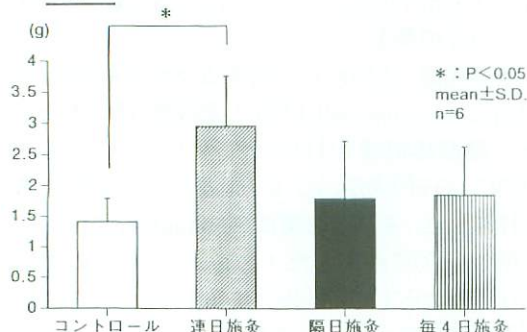


Fig. 2 small tumor 群の腫瘍重量

の平均値と標準偏差を示したものである。Exp. 1 ではコントロール群 (1.07 ± 0.35 g) と比較して連日施灸群 (1.85 ± 0.74 g) では腫瘍の増殖傾向を示し、Exp. 2 においても、コントロール群 (1.41 ± 0.38 g) と比較して、連日施灸群 (2.96 ± 0.80 g) で有意 ($P < 0.05$) な腫瘍増殖が認められた。また、Exp. 1 及び Exp. 2 において、隔日施灸群および毎 4 日施灸群でも連日施灸群のように有意差はないが、コントロール群に比べて、腫瘍の増殖傾向が認められた。Photo. 1 は small tumor 群の Exp. 2 の切除された担癌足である。連日施灸群で明らかな腫瘍の増殖が認められた ($P < 0.05$)。

一方、large tumor 群 (Fig. 3) の Exp. 1 では、コントロール群 (4.64 ± 0.29 g) と比較して毎 4 日施灸群 (3.07 ± 0.53 g) で有意 ($P < 0.01$) な腫瘍の増殖抑制が認められた。また連日施灸群

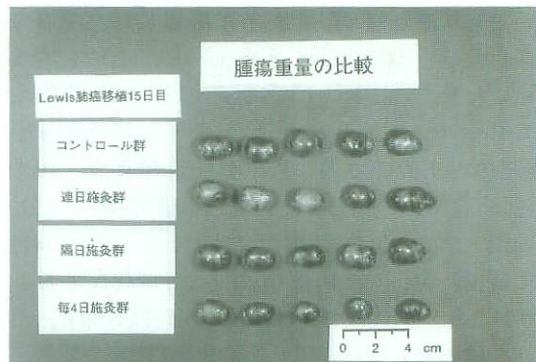
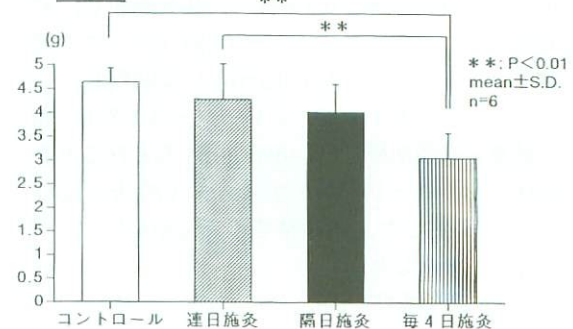


Photo. 1 small tumor 群の切除された担癌足

(4.29 ± 0.74 g) と毎 4 日施灸群 (3.07 ± 0.53 g) を比較しても毎 4 日施灸群で有意 ($P < 0.01$) な腫瘍増殖抑制が認められた。また、Exp. 2 においてもコントロール群 (3.83 ± 0.72 g) と比較して毎 4 日施灸群 (3.58 ± 0.37 g) でやはりやや増

Exp. 1



Exp. 2

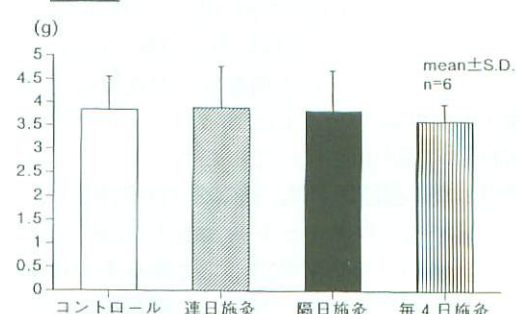


Fig. 3 large tumor 群の腫瘍重量

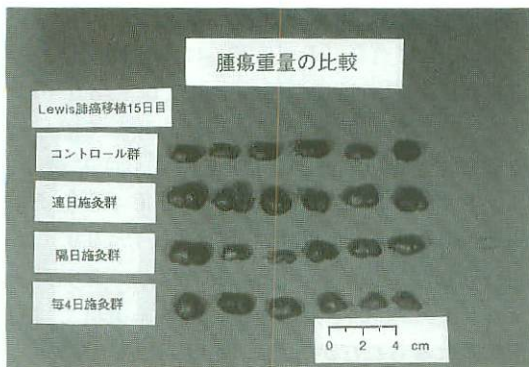


Photo. 2 large tumor 群の切除された担癌足

殖抑制が認められたが、有意差は認められなかった。また、large tumor 群では、前述の small tumor 群のように連日施灸群で腫瘍増殖が促進されることはなかった。Photo. 2 は large tumor 群 Exp. 1 の切除された担癌足である。コントロール群と比較して各施灸群で腫瘍重量は減少したが、特に毎 4 日施灸群では著しい減少が認められた ($P < 0.01$)。

以上、Small tumor 群では施灸により腫瘍増

殖が促進される傾向にあり、それは連日施灸群で最も顕著であった。一方、large tumor 群では施灸により腫瘍増殖が抑制される傾向があり、それは毎 4 日施灸群で最も明らかであった。すなわち、移植腫瘍細胞数および、刺激頻度により、腫瘍増殖に対する施灸刺激の影響に差異を生ずることがわかった。

(2) 血行性転移に及ぼす施灸刺激の影響

Table. 1 は移植15日目の肺転移結節数の平均値と標準偏差を示したものである。small tumor 群の肺転移結節数は Exp. 1 でコントロール群 (0.33 ± 0.82 個) と比較して連日施灸群 (0.50 ± 1.22 個) ではわずかに増加し、毎 4 日施灸群では全く転移結節を観察できなかった。Exp. 2 においてはコントロール群および毎 4 日施灸群では全く転移を認められなかったが、連日施灸群、隔日施灸群共に、平均 0.5 個の転移結節を認めた。

一方、large tumor 群の Exp. 1 ではコントロール群 (0.50 ± 0.84 個) と比較して連日施灸群 (3.83 ± 7.22 個) では明らかに転移結節が増加した。しかし、コントロール群と隔日施灸群 (0.33 ± 0.82

Table. 1 small tumor 群、large tumor 群の肺転移結節数

(a) Small tumor

	コントロール	連日施灸	隔日施灸	毎 4 日施灸	mean \pm S.D. (n=6)
Exp.1	0.33 ± 0.82	0.50 ± 1.22	0.33 ± 0.52	(—)	
Exp.2	(—)	0.50 ± 0.84	0.50 ± 1.23	(—)	

(b) Large tumor

	コントロール	連日施灸	隔日施灸	毎 4 日施灸	mean \pm S.D. (n=6)
Exp.1	0.50 ± 0.84	3.83 ± 7.22	0.33 ± 0.82	1.00 ± 1.27	
Exp.2	10.50 ± 7.66	7.17 ± 5.74	6.33 ± 5.05	7.50 ± 5.61	

個) 及び毎4日施灸群 (1.00 ± 1.27 個) とは大きな差は認められなかった。Exp.2においてはコントロール群 (10.5 ± 7.66 個) と比較して連日施灸群 (7.17 ± 5.74 個), 隔日施灸群 (6.33 ± 5.05 個), 每4日施灸群 (7.50 ± 5.61 個) ではやや転移が少なかった。

以上、肺転移結節数については各実験とも、明らかな傾向はなかったが、small tumor 群の毎4日施灸群で全く転移結節のなかったこと、large tumor 群のExp.2で、コントロール群に比して施灸群で転移結節が少なかったことが注目された。

(3) 各施灸群の胸腺および脾臓重量

small tumor 群、large tumor 群共に胸腺重量はExp.1, 2 のいずれにおいてもコントロール群と各施灸群間には有意差は認められなかった (Table. 2)。

なお、正常、同週令のマウスの胸腺重量は0.04 gで各実験群の平均胸腺重量と大差はなかった。

一方、small tumor 群の脾臓重量は、Exp.1 ではコントロール群と比較して各施灸群間に有意差はみられなかったが、Exp.2 ではコントロー

ル群 (0.14 ± 0.02 g) と比較して連日施灸群 (0.21 ± 0.04 g) で有意 ($P < 0.05$) に重い傾向が認められた。一方、large tumor 群ではExp.1 のコントロール群 (0.38 ± 0.04 g) に比較して隔日施灸群 (0.30 ± 0.03 g) で有意 ($P < 0.05$) に軽く、コントロール群 (0.38 ± 0.04 g) と毎4日施灸群 (0.31 ± 0.04 g) との間にも有意差 ($P < 0.05$) が認められた。しかし、Exp.2 では、コントロール群 (0.28 ± 0.04 g) と比較して各施灸群では有意な差はみられなかった (Table. 3)。

正常、同週令のマウスの脾臓重量は平均0.11 gで各実験群の脾臓重量はこれより重く、またsmall tumor 群よりlarge tumor 群で全体に明らかに重く、腫瘍が大きくなればなるほど脾臓重量が重くなる傾向がみられた。

(4) リンパ球芽球化反応に及ぼす施灸刺激の影響

Fig. 4, Fig. 5, Fig. 6 は脾リンパ球の PHA およびCon-A芽球化反応の平均cpm と標準偏差を示したものである。small tumor 群の PHA 反応 (Fig. 4) Exp. 1 ではコントロール群 (30956 ± 14148 cpm) と比較して各施灸群共に低下がみら

Table. 2 small tumor 群、large tumor 群の胸腺重量 (g)

(a) Small tumor

mean \pm S.D. (n=6)				
	コントロール	連日施灸	隔日施灸	毎4日施灸
Exp.1	0.05 ± 0.01	0.05 ± 0.01	0.06 ± 0.01	0.05 ± 0.01
Exp.2	0.05 ± 0.01	0.04 ± 0.01	0.05 ± 0.01	0.05 ± 0.01

(b) Large tumor

mean \pm S.D. (n=6)				
	コントロール	連日施灸	隔日施灸	毎4日施灸
Exp.1	0.03 ± 0.01	0.04 ± 0.01	0.04 ± 0.02	0.05 ± 0.01
Exp.2	0.03 ± 0.01	0.03 ± 0.01	0.04 ± 0.01	0.03 ± 0.01

Table. 3 small tumor 群, large tumor 群の脾臓重量 (g)

(a) Small tumor

* : コントロール VS $P < 0.05$

	mean \pm S.D. (n=6)			
	コントロール	連日施灸	隔日施灸	毎4日施灸
Exp.1	0.14 \pm 0.02	0.18 \pm 0.05	0.19 \pm 0.05	0.15 \pm 0.04
Exp.2	0.14 \pm 0.02	0.21 \pm 0.04 *	0.18 \pm 0.05	0.19 \pm 0.04

(b) Large tumor

* : コントロール VS $P < 0.05$

	mean \pm S.D. (n=6)			
	コントロール	連日施灸	隔日施灸	毎4日施灸
Exp.1	0.38 \pm 0.04	0.32 \pm 0.05	0.30 \pm 0.03 *	0.31 \pm 0.04 *
Exp.2	0.28 \pm 0.04	0.29 \pm 0.11	0.33 \pm 0.08	0.28 \pm 0.05

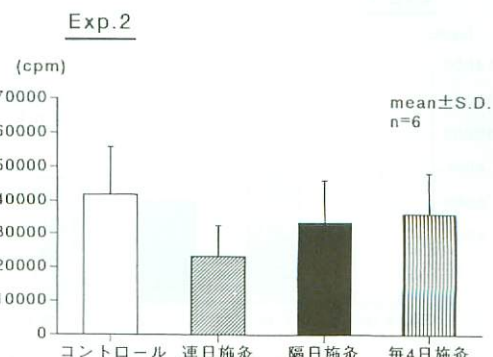
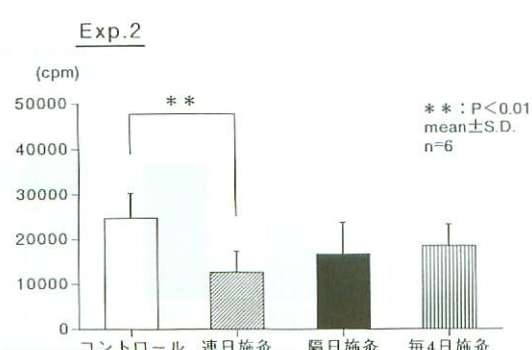
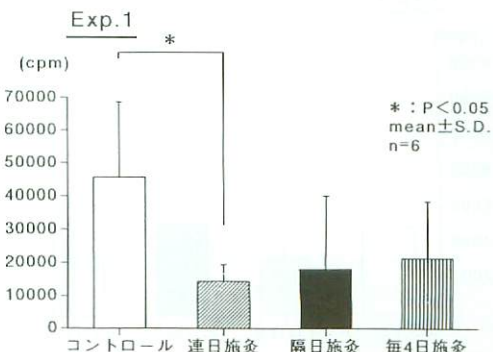
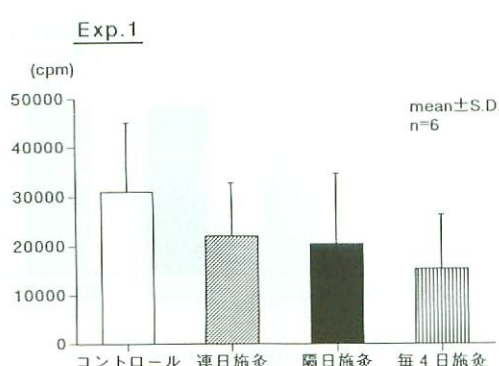


Fig.4 small tumor 群のリンパ球芽球化反応(PHA)

Fig.5 small tumor 群のリンパ球芽球化反応(Con-A)

れたが、特に毎4日施灸群 (15391 ± 10925 cpm) で著しい低下が認められた。Exp. 2においても、同様の傾向がみられたが、この実験ではコントロール群 (24695 ± 5638 cpm) に比し、連日施灸群 (12572 ± 4692 cpm) で有意な ($P < 0.01$) 低下が観察された。また、Con-A 反応 (Fig. 5) は Exp. 1 ではコントロール群 (45590 ± 23015 cpm) と比較して各施灸群共に低下が観察されたが、特に連日施灸群 (14352 ± 5197 cpm) で有意な ($P < 0.05$) 低下が認められた。Exp. 2においても、コントロール群 (41853 ± 14013 cpm) と比較して各施灸群で低下がみられ、特に連日施灸群での低下が大きかったが有意差は認められなかった。

一方、large tumor 群の PHA, Con-A 反応 (Fig. 6) 共に ^3H -thymidine の up take が全体に低く、また、各施灸群間で有意な差はみられなかっ

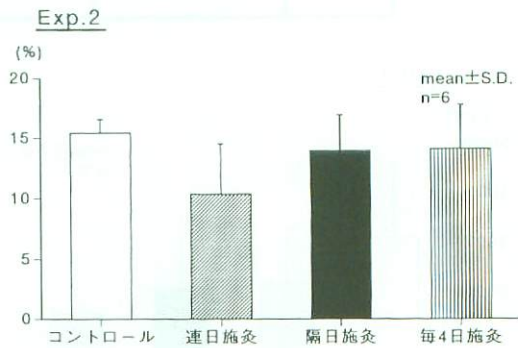
た。しかし、各施灸群で small tumor 群のように明らかに芽球化反応が低下する傾向はなく、PHA, Con-A 反応共にコントロール群に比してやや高い傾向が認められた。

以上、small tumor 群では PHA, Con-A 反応共にコントロール群に比して施灸群で明らかな反応の低下が認められたが、large tumor 群では逆に PHA, Con-A 反応共にコントロールに比して施灸群でやや高い傾向が認められたことが注目された。

(5) NK 細胞活性に及ぼす施灸刺激の影響

Fig. 7 は NK 細胞活性 (%) の平均値と標準偏差を示したものである。small tumor 群の Exp. 2 ではコントロール群 ($15.44 \pm 1.15\%$) と比較して、各施灸群の NK 活性はやや低下がみられた。また、同時に行われた同週令の正常マウスの NK

Small tumor



Large tumor

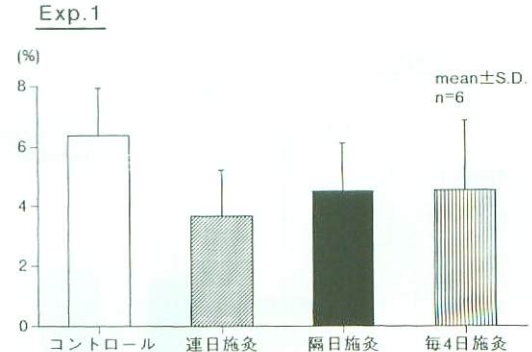


Fig. 6 large tumor 群のリンパ球芽球化反応 (PHA, Con-A)

Fig. 7 small tumor 群, large tumor 群の NK 細胞活性

活性は25%前後であり、担癌マウスのNK活性は正常マウスに比して明らかに低下していることがわかった。また、large tumor群ではコントロール群 ($6.38 \pm 1.56\%$) と比較して各施灸群でNK活性の低下傾向が認められた。large tumor群ではこのようにNK活性の値が極端に低いが、これが担癌腫瘍が大きく、そのためのNK活性の低下か否か検討する必要があると思われた。

(6) PFC形成能に及ぼす施灸刺激の影響

Fig.8は脾リンパ球 (1×10^6 cells) のPFC数の平均値と標準偏差を示したものである。small tumor群のExp.1ではコントロール群 (2306 ± 557 PFC/ 10^6) と比較して各施灸群共にPFC数の増加傾向がみられたが、有意差は認められなかった。同様にExp.2でもコントロール群 ($2448 \pm$

1297 PFC/ 10^6) と比較して各施灸群で増加傾向がみられたが、有意差は認められなかった。また、同週令、正常マウスの脾細胞PFC数は 5312 ± 2033 (PFC/ 10^6) で担癌マウスではやはり全体に、正常マウスに比べてPFC形成能が低下していることがわかった。large tumor群のExp.2でもコントロール群 (1553 ± 172 PFC/ 10^6) と比較して各施灸群でPFC数の増加傾向がみられたが、有意な差は認められなかった。

以上、PFC形成能はコントロール群に比べて施灸群で全体にやや高い傾向が認められたことが注目された。

IV. 考察

本研究で用いられたLewis肺癌はC57BL/6マウスの肺に自然発生したEpidermoid tumorであるが、皮下に移植すると高率に肺転移を形成することから、現在、血行性転移モデルとして実験的に多く用いられている⁹⁾。また、Lewis肺癌は、移植後10日目頃から肺転移を形成し、14日目頃から肉眼的に転移結節が観察されるが、この腫瘍の増殖や転移形成とNK細胞、T細胞あるいはマクロファージなどの動きとの関連も種々の論文で論じられており¹⁰⁻¹²⁾、本研究の目的に適した実験腫瘍と考え使用した。

施灸による直接的な抗腫瘍性の機序に関する報告は少ないが、西谷ら¹³⁾はエールリッヒ腫瘍細胞をマウスの皮下に移植し、移植局所または腫瘍の周囲に大量に施灸して腫瘍の増殖に対する影響を調べたところ、大量施灸によって20~50%の生存率が得られた。この結果から、施灸は皮膚の過酸化脂質を低下させて腫瘍細胞の増殖に適さない環境を作る可能性があると報告している。

一方、癌の増殖に宿主免疫能が大きく関与していることは広く知られていることであり、現在の癌治療においても免疫細胞を活性化せしめ宿主免疫能を高める非特異的な免疫療法が多く試みられている。また、鍼灸刺激は古くより宿主免疫能を賦活する作用のあることが指摘されており、施灸刺激により移植腫瘍の増殖抑制が認められたと

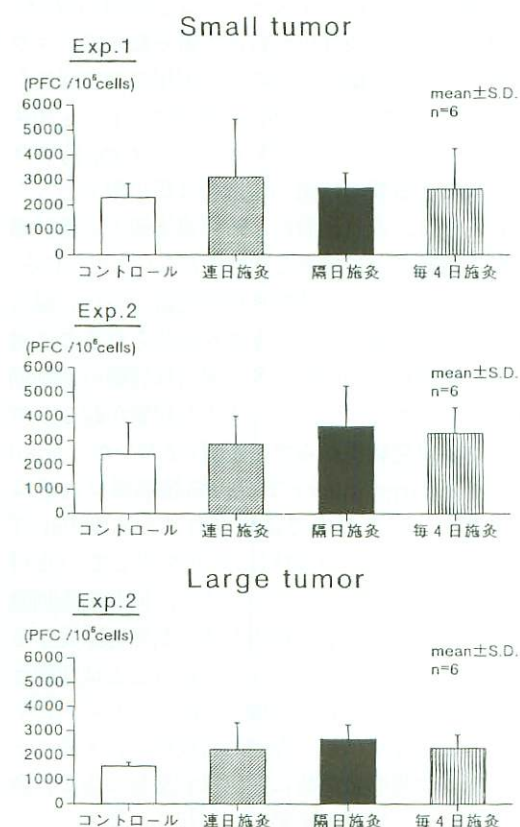


Fig.8 small tumor群, large tumor群のPFC產生細胞数

の報告もなされている¹⁴⁾。そこで筆者は、血行性肺転移を起こしやすいlewis肺癌を用いて施灸刺激が原発巣と肺転移巣に如何なる影響を及ぼすのかを検討した。その結果、移植腫瘍細胞数の少ない場合は、各施灸群でむしろ腫瘍の増殖促進傾向が認められ、その中でも特に連日施灸群で有意な($P < 0.05$)腫瘍の増殖促進が観察された。しかし、移植腫瘍細胞数の多い場合には逆に、コントロール群や連日施灸群に比して毎4日施灸群で有意な($P < 0.01$)腫瘍の増殖抑制が認められた。

悪性腫瘍の増殖や転移をコントロールする宿主防御因子として、細胞障害性T細胞、NK細胞、活性化マクロファージ、LAK細胞などがあり、これらの細胞は直接、腫瘍細胞を破壊したり、あるいは他の細胞の抗腫瘍活性を調節するとされており¹⁵⁾、NK細胞は特に、血行性転移を抑制するとの報告もある¹⁶⁾。また、担癌動物においては一般に免疫不全状態に陥っていると考えられている。特に細胞性免疫能の低下が著しく、同種皮膚移植片の生着の延長や、遅延型アレルギー反応の弱化、担癌宿主リンパ球のPHAやCon-Aに対する反応性の低下、または同種リンパ球との混合培養における反応性の低下、マクロファージ機能の低下などが観察されている¹⁷⁾。また、Budzynskiら¹⁸⁾はLewis肺癌移植マウスの移植後のNK細胞活性の推移を観察した結果、移植後の日数が経過するにつれて、NK細胞活性が低下することを、また、Youngら¹⁹⁾はC57BL/6マウスに、Lewis肺癌の転移株と非転移株を移植して、リンパ球芽球化反応とNK細胞活性を観察した結果、転移・非転移株に関係なく担癌マウスでは正常マウスより、リンパ球芽球化反応、NK細胞活性共に低下し、特に、転移株移植マウスでは著しく低下したと報告している。一方、Kennedyら²⁰⁾はSaD2-AG線維肉腫を移植したマウスに羊赤血球を静脈内注射し液性免疫能をPFC値より調べてみると、担癌状態が進むにつれてそれが著しく抑制されてくることを示している。

本研究でのリンパ球芽球化反応、NK活性、PFC値の動きなどは、上記の報告と類似した動

きを示している。しかし、small tumor群特に連日施灸群では、隔日あるいは毎4日施灸群に比して腫瘍の増殖促進と共に、リンパ球芽球化反応、NK細胞活性が明らかに低下したが、マウスに対する灸刺激量が大きすぎた可能性も考えられる。五十嵐ら²¹⁾、丹野ら²²⁾、奥野ら²³⁾は、適量の施灸刺激では細胞性免疫の増強が起こるが、過量の刺激量や刺激間隔が短い場合には、逆に細胞性免疫能を低下させ、刺激量により免疫応答に差が認められたと報告している。また、Shavitら²⁴⁾はストレスはラットやマウスの実験腫瘍の増殖を促進することやストレスの種類によって免疫機能が高められたり、腫瘍増殖が抑制されたりすることも報告している。本研究の場合、腫瘍増殖と免疫機能に関するストレスとして、施灸量、施灸頻度や施灸のための拘束ストレスなどが挙げられる。本研究では、施灸部位が背部であったので、マウスをゲージの金網の上にのせ、尻尾のみを保持して、手早く灸をのせて点火し、拘束ストレスを出来る限り少なくするように努めた。このため、拘束ストレスによる腫瘍増殖への影響は最小限であったと考えられ、連日刺激による腫瘍増殖の促進は過多な灸刺激のためである可能性が高いと思われる。

一方、本研究で、腫瘍移植細胞数が少ない場合は、施灸群で腫瘍増殖の促進が認められるのに対して、腫瘍移植細胞数の多い場合は腫瘍の抑制効果がみられた。なぜ、このような現象が起こるのか今回の研究結果からでは説明できないが、small tumorとlarge tumorでは担癌腫瘍量に大きな差があり、宿主の中で誘導されてくるKiller T細胞や、Suppressor細胞に差異を生じている可能性は十分考えられる。それゆえ、同じ施灸刺激であっても、如何なる細胞がその刺激を感受するかによりその結果起こる反応が違うことは想像される。今回は、これらの機序に関して明らかにすることはできないが、今回の結果から言えることは、適当な腫瘍量の時に適当な刺激量の施灸刺激を加えれば、腫瘍の増殖抑制が起こり得るということである。また、不適当に刺激すると逆に腫瘍増殖を促進するということである。

以上の結果から、施灸刺激により、腫瘍の増殖抑制も起こり得ることが示唆されたが、その条件に関する多くの考察が必要であり、また、その機序に関する基礎的な研究が今後必要と思われる。

V. 結 語

施灸刺激が移植腫瘍の増殖動態、肺転移形成、宿主免疫能へ及ぼす影響について検討した。その結果、施灸刺激は移植細胞数の少ない場合には腫瘍増殖や転移に対し促進的に作用するが、移植細胞数が多い場合は腫瘍の増殖抑制的に作用したこと、また、施灸刺激は連日施灸群で腫瘍増殖を促進させ、隔日あるいは毎4日施灸群の場合に抑制効果を示す可能性のあることが示唆された。また、施灸刺激によりリンパ球芽球化反応、NK細胞活性は低下するが、羊赤血球に対する抗体産生細胞数(PFC)は増加する傾向が観察された。このことから、移植腫瘍細胞数や施灸刺激間隔の違いにより、腫瘍の増殖、転移、宿主免疫応答に差異を生じることがわかり、条件によっては、施灸刺激により腫瘍の増殖抑制も起こり得ることが示唆された。

VI. 謝 辞

稿を終えるにあたり、終始懇切なる御指導と御校閲を賜りました明治鍼灸大学外科学教室の恩師咲田雅一教授に心から深謝申し上げます。

また、実験に際し、終始御助言ならびにご協力・ご援助を賜りました明治鍼灸大学鍼灸診断学教室の篠原昭二助教授に心から感謝いたします。また、この研究に際し貴重なるLewis肺癌を分与していただいた森下ルセルK.KならびにRL male 1細胞を供与していただいた明治鍼灸大学免疫・微生物学教室の雨貝孝教授に厚く御礼申し上げます。

参考文献

- Okazaki M, Furuya E, Kasahara T : Effects of single moxibustion on phagocytic activity in mice. American Journal of Chinese Medicine, 11 : 112~122, 1983.
- 須藤 実、大里和久ら：鍼灸の抗癌効果に関する基礎研究(第1報)，医道の日本，35：49~54, 1976.
- 野間重任、八木与志男、山内利則ら：エールリッヒ癌細胞の灸治療効果に関する研究(第2報)，日本東洋医学雑誌，35(3)：243~247, 1985.
- Sternfeld M, Hod I, Yegana Y : Bimodal effect of moxibustion on mammary carcinoma transplanted in BALB/c mice. American Journal of Acupuncture, 16 : 358 ~361, 1988.
- 篠原昭二、石丸圭莊、渡辺勝之ら：灸刺激によるマウス移植腫瘍の増殖およびリンパ節転移の抑制効果について、明治鍼灸医学, 5 : 113~119, 1989.
- Wexler H : Accurate identification of experimental pulmonary metastases. Journal of the National Cancer Institute, 36 : 641~645, 1966.
- 菊地浩吉：⁶¹Cr標識細胞障害試験、免疫実験操作法A : 349~351, 1978.
- Cunningham A J, Szeberg A : Further improvement in the plaque technique for detecting single antibody-forming cells. Immunology, 14 : 599~600, 1968.
- 初瀬一夫：Lewis肺腫瘍の血管侵襲と肺転移に関する研究(第1報)，防医大誌, 8(1) : 35~42, 1983.
- Young M R, Wheeler E, Newby M : Macrophage-mediated suppression of natural killer cell activity in mice bearing Lewis lung carcinoma. Journal of the National Cancer Institute, 76 : 745~750, 1986.
- Boom M, Pollock R E, Shenk R R : Tumor burden impairment of murine natural killer cell cytotoxicity. Invasion Metastasis, 8 : 118 ~132, 1988.
- Budzynski W, Janiak M, Radzikowski C : Suppression of the activity of natural killer-like cells by peritoneal macrophages obtained from Lewis lung tumor-bearing, propionibacterium granulosum KP-45 treated, or normal, untreated mice. Immunobiol 176 : 73~84, 1987.
- 西谷郁子、植田伸夫：灸の抗腫瘍作用の検討、帝京医学雑誌, 6(1) : 95~99, 1983.
- 楊 友泌：艾灸対小鼠移植性腫瘍S-180抑制作用的研究、中国鍼灸, 3 : 32~33, 1989.
- Duffie G P, Rita M, Young I : Tumoricidal activity of alveolar and peritoneal macrophages of C57BL/6 mice bearing metastatic

- or nonmetastatic variants of lewis lung carcinoma. *Journal of Leukocyte Biology*, **49**: 8~14, 1991.
- 16) Wiltrot R H, Herberman R B, Zhang S-R : Role of organ-associated NK cells in decreased formation of experimental metastases in lung and liver. *Journal of Immunology*, **134** : 4267~4275, 1985.
 - 17) 北川正保 : 腫瘍免疫学, 小林 博, 橋武彦編, 朝倉書店 : 278~288, 1975.
 - 18) Budzynski W : Changes in natural killer cells activity in mice bearing subcutaneously implanted lewis lung carcinoma. *Archivum immunologiae et therapiae experimentalis*, **32** : 185~189, 1984.
 - 19) Young M R, Newby M : Differential induction of suppressor macrophages by cloned lewis lung carcinoma variants in mice. *Journal of the National Cancer Institute*, **77** : 1255~1260, 1986.
 - 20) Kennedy J C : Host defense against cancer and its potentiation. Univ. Tokyo Press, Tokyo : 67~82, 1975.
 - 21) 五十嵐宏, 丹野恭夫, 光藤英彦ら : 免疫機構におよぼす鍼灸の効果, 日本東洋医学会誌, **26** : 117~121, 1975.
 - 22) 丹野恭夫 : 炎の家兎末梢リンパ球幼若化現象に及ぼす影響, 日本東洋医学会誌, **28**(1) : 18~22, 1977.
 - 23) 奥野英子, 篠原昭二, 宇都宮由美子ら : マウス抗体産生能(PFC)に及ぼす施灸刺激の効果について, 第43回全日本鍼灸学術大会抄録集, **44**(1) : 52, 1994.
 - 24) Shavit Y, Terman G W, Martin F C : Stress, opioid peptides, the immune system, and cancer. *Journal of Immunology*, **135** : 834~837, 1985.

Effect of Moxibustion on The Growth of Primary Tumor, Pulmonary Metastases and Immune Responses in C57BL/6 mice Bearing Lewis Lung Carcinoma(LLC).

UTSUNOMIYA Yumiko

Department of Surgery, Meiji College of Oriental Medicine.

Summary: C57BL/6 mice were inoculated with 5×10^4 or 5×10^5 LLC cells into the right foot pad and moxibustion (0.6mg weight) was applied to the bilateral Shenshu (B23) points daily, every other day or every four 14 days after tumor inoculation. Weight of the tumor-bearing right leg and the number of metastatic nodules in the lungs were examined on the 15th day after tumor cell inoculation. Weights of the spleen and thymus were measured, and lymphocyte blastogenic activities, natural killer(NK) activities and plaque-forming cell(PFC) response to SRBC in the spleen cells of tumor-bearing mice were assayed on the same day.

The following results were obtained; 1)When 5×10^4 LLC cell were used for inoculation, the tumor growth was enhanced by moxibustion treatment, but it was suppressed when 5×10^5 LLC cells were used for inoculation, 2)It was also suggested that the tumor growth was enhanced by daily moxibustion treatment, but suppressed by moxibustion treatment on every other day or every four days, and 3)Lymphocyte blastogenic activities and NK activities were suppressed, but PFC responses were enhanced by application of moxibustion.

From these results, it was considered that growth of the tumor and the host immune response might be affected by the numbers of inoculated tumor cells and timing of moxibustion application.